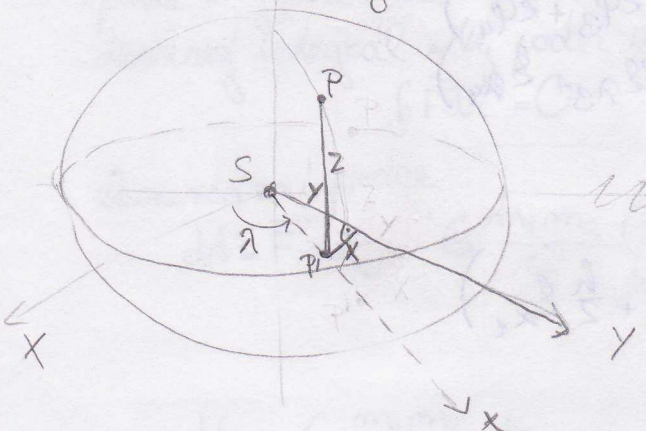


4.

1) odvodid sestrah $X, Y, Z \rightarrow \varphi, \lambda$



S

y

x

y

x

z

\varphi

\lambda

P

$$X = x \cos \lambda$$

$$Y = x \sin \lambda$$

$$Z = y$$

$$x = \frac{a \cos \varphi}{\sqrt{1 - e^2 \sin^2 \lambda}}$$

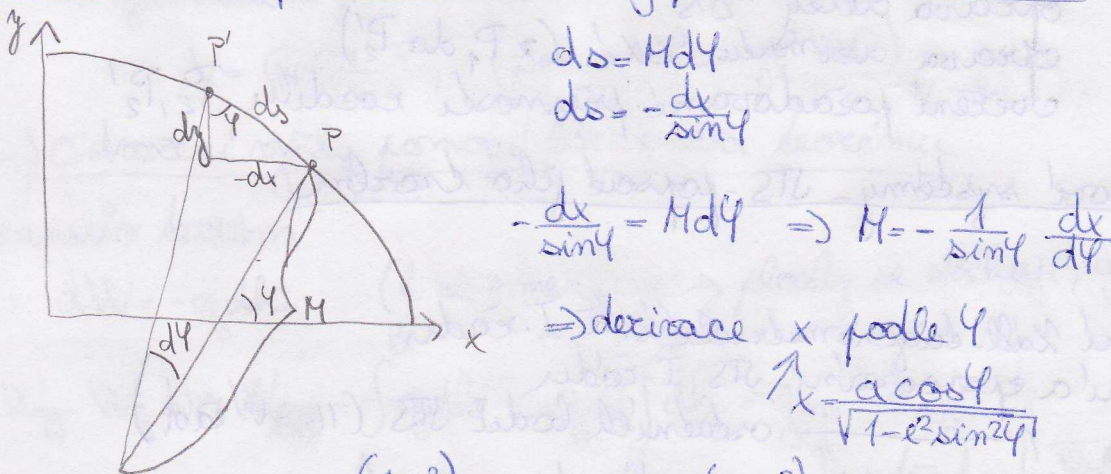
$$y = \frac{a(1-e^2) \sin \varphi}{\sqrt{1 - e^2 \sin^2 \lambda}}$$

$$X = \frac{a \cos \varphi \cos \lambda}{w} = N \cos \varphi \cos \lambda$$

$$Y = \frac{a \cos \varphi \sin \lambda}{w} = N \cos \varphi \sin \lambda$$

$$Z = \frac{a(1-e^2) \sin \varphi}{w} = N(1-e^2) \sin \varphi$$

2) odvodid norce pro meridiánový poloměr kružnice



$$M = \frac{a(1-e^2)}{(1-e^2 \sin^2 \varphi)^{3/2}} = \frac{a(1-e^2)}{w^3}$$

3) geodetické ulohy na elipsoidu - popsat + stanovit řešení

I. II. geo ul. dano: $\varphi_1, \lambda_1, \varphi_2, \lambda_2$

uveďte: $\varphi_1, \lambda_1, \varphi_2, \lambda_2$

II. II. geo ul. dano $\varphi_1, \lambda_1, \varphi_2, \lambda_2$

uveďte: $\lambda_1, \lambda_2, \sigma$

I. - ideální posuv - rozhadl se dif. conic geod. kružny

$$\frac{d\varphi}{ds} = \frac{\cos \lambda}{M}$$

$$\frac{d\lambda}{ds} = \frac{\sin \lambda}{N \cos \varphi}$$

$$\frac{dx}{ds} = \frac{\sin \lambda}{N \cos \varphi}$$

f₁f₂f₃

ideální řešení h - na něj vedeřelím délku mezi body a jde podiferenciální řešení

~~řešení~~
zpravidlosti metoda Runge-Kuttova

$$q_{m+1} = q_m + \frac{1}{6} h \left(2q_1 + 28q_2 + 28q_3 + 2q_4 \right)$$

$$\lambda_{m+1} = \lambda_m + \frac{1}{6} h \left(2\lambda_1 + 28\lambda_2 + 28\lambda_3 + 2\lambda_4 \right)$$

$$x_{m+1} = x_m + \frac{1}{6} h \left(\dots \right)$$

$$2q_1 = f_1(q_m, \lambda_m)$$

$$k_{q_2} = f_1 \left(q_m + \frac{h}{2}, \lambda_m + \frac{h}{2} \lambda_1 \right)$$

⋮

II. - vycházel z první

neznámé x_1 a σ jsou v prvním řešení odhadnuty

\Rightarrow approximace I. k. geo. ul. \Rightarrow výsledky se liší od P_2

\Rightarrow správa $\Delta S, \Delta X$... pomocí odhadů $q_2 - q'_2$

$$\lambda_2 - \lambda'_2$$

postup: vypočítat délky a azimuty z P_2' do P_2

ateliér

správa délky "S"

správa azimutu "OK" (z P_1 do P_2')

ověření pořadování přesnosti řešení P_2, P_2'

4) Využívání systémy - JTS - popsal jeho členbu

A20-57

3 etapy

1.) zaměření kart.-trigonometrické sítě I. rádu

2.) zaměření a spekatorání JTS I. rádu

3.) —————— ostředník bodů JTS (II. - V. rádu)

časový řád \Rightarrow nebyla poslednice normativní
nebyly měřeny geodetické základny a sítě
mentispojení se sousedními sítěmi

základní měření provedeno z rovník. triang. - základ Schreiberova metoda

\Rightarrow rovníková podle podmínky

rovníkovém I. rádu bylo jen definicioní řešení

\Rightarrow základní orientace na Besselové elips. všechny nepřesnosti

\rightarrow zákl. rovníkové triangulace

- 10% id. bodů \Rightarrow rovinové souř.

- rovinové projevování + \rightarrow všechny

\Rightarrow Helmert \Rightarrow definicionní souř.

- 5) Vlastnosti gravitačního pole Země - odvodí se gravitační potenciál
- gravitační energie - skalár - výčetný je s počtem bodů jen jednou hodnotou
 - gravitační pole mává dřevma body bude výška bodu ve formě změny potenc. energ.
 - dlehož integral sily podél vzdálenosti výšky je $\int \vec{F} dr = 0$

dejme dřevnu pečce

$$dA = \vec{F} \cdot d\vec{r}_{12} = -G \frac{m_1 m_2}{r_{12}^2} (\vec{r}_{12}^0 \cdot d\vec{r}_{12})$$

$d\vec{r}_{12}$ je vzdálenost mezi výškami nebo změnou výšky při rodiče

$$dA = -G \frac{m_1 m_2}{r_{12}^2} dr_{12}$$

celková pečce

$$A = -E_p = \int_1^2 \vec{F} \cdot d\vec{r}_{12} = G \frac{m_1 m_2}{r_{12}} + \text{lze se vzdálenostmi}$$

↑ gravitační energie m_2

\Rightarrow závisíme se výškou hmotnosti

\Rightarrow gravitační potenciál

$$V = G \frac{m'}{r} \quad (\text{pro } r \rightarrow \infty \text{ je } V=0)$$

6.) Odvození výšky pomocí Brunsůva leoremu

Brunsova lečedla

$$dW = -gdh \quad (h \text{ se zmenšuje} \Rightarrow \text{plochy se sblíží}, g \text{ se nezmění})$$

$$W_B - W_A = \Delta W_{AB} = \int_A^B gdh = gm \int_A^B dh = gm \Delta h_{AB}$$

↑ střední integrální hodnota výšky

$$\Delta h_{AB} = -\frac{\Delta W_{AB}}{gm}$$

$$H_A = -\frac{\Delta W_{OA}}{gm}$$

- gravitační potenciál systému
- systéma nad geoidem

gm se může měnit ... včetně se vzdáleností

$$g_{900} \times 9 = 490$$

7.) Fayor a Bugueror redukce a dložek anomalie

Fayorova redukce na volném vedení

$$\delta_F = -\frac{\delta f}{\delta h} H \quad [\text{m s}^{-2}]$$

Fayorova anomalie

$$\Delta g_F = g(P) + \delta_F - f(P_0) = g_F(P_1) - f(P_0)$$

Buguerorova redukce

- výšku mezi povrchem a geoidem

- model - stejná hustota

(dosa - systéma H (nadm. v.))

(výška) - poloměr a (limitné E cs)

$$\lim_{a \rightarrow \infty} Z = 2\pi G \rho H$$

↑ indenita grav. silly

$$\delta_B^1 \dots \text{uplná B.r. } (\delta_B + \delta_F)$$

$$\delta_B^1 = \delta_F - 2\pi G \rho H \quad [\text{m s}^{-2}]$$

Buguerorova anomalie

$$\Delta g_B^1 = g(P) + \delta_F - \delta_B^1 - f(P_0) = g_B^1(P_1) - f(P_0)$$

$$\delta_B^2 = \delta_B^1 + C_T$$

↑ vliv nehomogenity kladenosti

8.) Obecné transformace mezi ICRF a ITRF

vzdory

\vec{x}_{ICRF}

\vec{x}_{ITRF}

pomočný systém ICRF' - založený $\rightarrow S_{x_2}$ a epože ℓ

$$\vec{x}_{\text{ICRF}'} = \vec{N} \vec{P} \vec{X}_{\text{ICRF}}$$

↑ pěcesát' degr. madice
↓ může být degr. madice

pomočný systém ITRF' - založený o mísce horizontu/cas (greenwich)

$$= \text{přechod } \rightarrow S_{x_2} \rightarrow S_{x_1} \text{ (spojeny se Zemí)}$$

$$\vec{x}_{\text{ITRF}'} = R^S \vec{x}_{\text{ICRF}}$$

pozacení zdroiské na souřadnice (x_p, y_p)

$$\vec{x}_{\text{ITRF}} = R_{\text{ITRF}}^H \vec{x}_{\text{ICRF}}$$

$$\vec{x}_{\text{ITRF}} = R_{\text{ITRF}}^H R_{\text{ICRF}}^S \vec{x}_{\text{ICRF}}$$

$$\vec{x}_{\text{ITRF}} = f(\alpha_4, \alpha_5, \text{DUT1}, x_p, y_p) \vec{x}_{\text{ICRF}}$$

9.) CZEPPOS

- síť permanentních stanic: 26 (z toho 4 mejsí)
- účel: posazení sít pro konveraci a rekonstrukci souřadnic
poskydání lokality RTCH a RTK
bezpečná sít pro GPS metrologie

Hardware

- stanice na č. u. (pracovních)
 - anténa
 - přijímač - lokální počítací → vzdálený pracovní sít CZEP
 - přesílač
- mejsí stanice - na vědeckých a akademických prac.
 - pro přesné rozhodnutí
 - zpětné řízení

Data

- pro postprocessing
 - na webové
 - RINEX - rozděleny/české a obecné
- služby pro aplikace & reálném casu
 - Diferenciální GPS
 - RTK ve formě vzdálených referenčních stanic
 - RTK ve formě plošných lokálk
- indikace / GSI
- RTCH

realizace

ZU v Brně

- předbežné geocentre souřadnic v ETRF89
- ⇒ pomocí GPS přijatého na DOPNUL
- ⇒ měření na nejbližších vrcholech. Bodůch pro S-JTSK